

GES	Journal of Geography and Environmental Studies, 11 (42), Summer 2022 <a href="https://ges.iaun.ac.ir">https://ges.iaun.ac.ir</a> ISSN: 2008-7845  20.1001.1.20087845.1401.11.42.9.8
-----	---

Research Article

## Drought Evaluation and Climatic Impact Assessment in Guilan Province

**Pejvak Rastgoo**

PhD student in Climatology, Department of Geography, Rasht Branch, Islamic Azad University, Rasht, Iran

**Bahman Ramezani (Corresponding Author)**

Professor, Department of Geography, Rasht Branch, Islamic Azad University, Rasht, Iran

Bahman@iaurasht.ac.ir.

**Parviz Rezaei**

Associate Professor, Department of Geography, Rasht Branch, Islamic Azad University, Rasht, Iran

### **Abstract**

Iran is affected by subtropical high pressure in the arid belt of the world and its annual rainfall is less than one third of the world average rainfall. Low rainfall with inappropriate temporal and spatial distribution has caused droughts. The aim of this study was to assess the vulnerability of Guilan province to drought with fuzzy GAMA, SUM and CVI models and to identify appropriate measures to reduce potential damage. The research method was spatial and applied in terms of purpose. First, the components of Guilan Province Climate Vulnerability Index in both FUZZY and CVI models, resource components (R), meteorological (W), access (A), capacity (C), economic use and productivity (U), maintaining environmental integrity ( E), geographical features (G) were determined. The variables were matched with fuzzy membership functions. In the SUM model, the highest vulnerability was in the west, center and large areas of the east of the province, Rudsar city with an area of 78.23%. In the GAMA overlap model, large parts of the west of Talesh city and Rasht city with an area of 31.92% were observed in a very high vulnerability class. In the study of CVI components, the CVI index of the whole province was 44.5%. The CVI index had the highest rank in the resource component (R) 56.12% and the lowest rank in the 36.94% component. In the CVI model, the highest vulnerability is in the whole city of Talesh with an area of 15.57%. High vulnerability rate of 26.84% was observed in Rasht, Soomehsara, Rudsar and Shaft counties and Astara and Rezvanshahr counties with an area of 20.88% were observed in very low vulnerability class.

**Keywords:** Vulnerability, Drought, FUZZY, CVI.

**Citation:** Rastgoo, P., Ramezani, B., Rezaei, P., (2022) Drought Evaluation and Climatic Impact Assessment in Guilan Province, Journal of Geography and Environmental Studies, 11 (42), 136-150. Dor: 20.1001.1.20087845.1401.11.42.9.8

### **Copyrights:**

Copyright for this article is retained by the author (s), with publication rights granted to Journal of Geography and Environmental Studies. This is an open – acces article distributed under the terms of the Creative Commons Attribution License (<http://creativecommons.org/licenses/by/4.0>), which permits unrestricted use, distribution and reproduction in any medium, provided the original work is properly cited.



20.1001.1.20087845.1401.11.42.9.8

## مقاله پژوهشی

# ارزیابی خشکسالی و سنجش آسیب‌پذیری اقلیمی استان گیلان

## پژواک راستگو

دانشجوی دکترای گروه جغرافیا آب و هواشناسی، واحد رشت، دانشگاه آزاد اسلامی، رشت، ایران

\* بهمن رمضانی

استاد گروه جغرافیا، واحد رشت، دانشگاه آزاد اسلامی، رشت، ایران

## پرویز رضایی

دانشیار گروه جغرافیا، واحد رشت، دانشگاه آزاد اسلامی، رشت، ایران

## چکیده

کشور ایران در کمربند خشک کره زمین، تحت تأثیر پرفشار جنب حاره قرار دارد و بارش سالانه آن کمتر از یک سوم متوسط بارش جهان است. بارش اندک به همراه توزیع نامناسب زمانی و مکانی آن باعث بروز خشکسالی‌هایی گردیده است. در این پژوهش هدف، سنجش ابعاد آسیب‌پذیری استان گیلان نسبت به خشکسالی با مدل‌های GAMA و SUM فازی و CVI و شناسایی اقدامات مناسب به‌منظور کاهش آسیب‌های بالقوه بود. روش پژوهش تحلیلی مکانی و از نظر هدف کاربردی بود. ابتدا مؤلفه‌های شاخص آسیب‌پذیری اقلیمی استان گیلان در هر دو مدل FUZZY و CVI، مؤلفه‌های منابع (R)، هواشناختی (W)، دسترسی (A)، ظرفیت (C)، استفاده و بهره‌وری اقتصادی (U)، حفظ یکپارچگی زیستمحیطی (E)، و بیزگی‌های جغرافیایی (G) تعیین گردید. متغیرها با توابع عضویت فازی همسان شدند. در مدل SUM، بیشترین آسیب‌پذیری در غرب، مرکز و نواحی وسیعی از شرق استان، شهرستان رودسر با مساحت ۷۸,۲۳ درصد بود. در مدل همپوشانی GAMA، قسمت‌های وسیعی از غرب استان شهرستان تالش و شهرستان رشت با مساحت ۳۱,۹۲ درصد در کلاس آسیب‌پذیری خیلی زیاد مشاهده گردید. در بررسی مؤلفه‌های CVI، شاخص CVI کل استان ۴۴,۵٪ به دست آمد. شاخص CVI در مؤلفه منابع (R) بالاترین رتبه و در مؤلفه منابع (R) کمترین رتبه را به دست آورد. در مدل CVI، بیشترین آسیب‌پذیری در کل شهرستان تالش با مساحت ۱۵,۵۷ درصد می‌باشد. درصد آسیب‌پذیری زیاد ۲۶,۸۴ درصد در شهرستان‌های رشت، صومعه‌سرا، رودسر و شفت مشاهده شد و شهرستان‌های آستارا و رضوانشهر با مساحت ۲۰,۸۸ درصد در کلاس آسیب‌پذیری خیلی کم مشاهده گردید.

**کلمات کلیدی:** آسیب‌پذیری، خشکسالی، CVI، FUZZY.

تاریخ ارسال: ۱۴۰۰/۰۸/۰۸

تاریخ بازنگری: ۱۴۰۰/۰۹/۰۲

تاریخ پذیرش: ۱۴۰۰/۰۹/۲۰

## مقدمه

خشکسالی ترجمه واژه Drought بوده و عبارت است از رخداد شرایطی که در آن بارندگی و آب باران قابل دسترس پائین‌تر از حد نرمال باشد، این پدیده بر اثر نوسانات اقلیمی پدید می‌آید (Arms, 1990). در بررسی تعریف معنای خشکسالی، به دلیل وجود متغیرهای مختلف مستقل و غیرمستقل که در این پدیده دخالت دارند، به این نتیجه منجر شد که نمی‌توان تعریف جامعی از این واژه یافت. زیرا زمانی می‌توان گفت که یک تعریف جامع هست که در تمامی شرایط صدق کند. از آنجایی که دیده خشکسالی با توجه به مناطق مختلف دارای شرایط مختلفی است، لذا نمی‌توان تعریفی را بیان داشت که همه شرایط و مناطق مختلف را در برگیرد. برای مثال در نظر گرفتن مقدار مطلقی مانند میانگین بارندگی ۳۰۰ میلی‌متر به عنوان آستانه رخداد خشکسالی در همه مکان‌ها قابل اعمال نیست، زیرا مکان‌های بسیاری در قلمروهای آب و هوایی گوناگون یافت می‌شوند که میانگین بارندگی آن‌ها بیش از ۵۰۰ میلی‌متر در سال است، ولی در عین حال در بعضی سال‌ها خشکسالی را تجربه می‌کند. در برخی مکان‌ها با در نظر گرفتن ارزش مذکور می‌باشد در همه سال‌ها وضعیت خشکسالی حکم‌فرما باشد، در حالی که چنین امری امکان‌پذیر نیست. پس، تعریف این واژه نمی‌تواند از ارزش مطلقی برخوردار باشد؛ بلکه این آستانه بر اساس شرایط محلی و هدف مطالعه فرق می‌کند (فرج زاده اصل، ۱۳۷۴). تعاریف تقریباً متفاوتی توسط اهل فن برای خشکسالی با دیدگاه‌های متفاوت بر اساس متغیرهای گوناگون ارائه شده است که به چند نمونه در زیر اشاره می‌شود:

خشکسالی حالتی نرمال و مستمر از اقلیم است. گرچه بسیاری به اشتباه آن را واقعه‌ای تصادفی و نادر می‌پنداشتند. این پدیده تقریباً در تمامی مناطق اقلیمی رخ می‌دهد، گرچه مشخصات آن از یک منطقه به منطقه دیگر کاملاً تفاوت می‌کند. خشکسالی یک اختلال موقتی است و با خشکی تفاوت دارد چراکه خشکی صرفاً محدود به مناطقی با بارندگی اندک است و حالت دائمی از اقلیم می‌باشد (فرج زاده اصل، ۱۳۷۴). طبق تعریف، کاویانی و علیجانی، خشکسالی به سالی گفته می‌شود که میزان بارش آن کمتر از میانگین درازمدت بارش در منطقه باشد (کاویانی و علیجانی، ۱۳۷۸). به نظر میلر کاهش میزان بارندگی و افزایش دما، هریک به تنهایی یا به همراه هم می‌تواند موجب خشکسالی شوند (miller, 1991). در این میان یک تعریف تقریباً جامع و کامل را می‌توان یافت که بیان می‌کند خشکسالی عبارت است از کمبود رطوبت مستمر و غیرطبیعی. واژه‌ی مستمر حالت کمبود و واژه‌ی غیرطبیعی به انحراف شاخص موردنظر از شرایط طبیعی یا میانگین اطلاق می‌شود، به عبارت دیگر دوره‌ای که در آن مقدار رطوبت و یا هر شاخص دیگری نسبت به شرایط میانگین منطقه از ناهنجاری منفی برخوردار گردد، به عنوان خشکسالی تلقی می‌شود (Palmer, 1965). در زمینه خشکسالی و تبعات آن تحقیقاتی در ایران و جهان با روشهای مختلف انجام پذیرفته است. خشکسالی یکی از بلایای فاجعه‌بار جهانی محسوب می‌شود که هرساله بر زندگی بسیاری از مردم جهان اثرگذار است (2013, Xiao-Chen et al.). خشکسالی طیف گسترده‌ای از اقلیم‌ها و اکوسیستم‌ها را تحت تأثیر قرار می‌دهد. به طوری که مناطق جغرافیایی تحت تأثیر خشکسالی در چهار دهه گذشته به شدت افزایش یافته‌اند (Molen et al., 2011). آسیب‌های ناشی از خشکسالی در بسیاری از کشورها خصوصاً در بخش کشاورزی تا حدی بوده که موجب شده این پدیده به عنوان مهم‌ترین مخاطره طبیعی به شمار آید (Song et al., 2003; Füssel, 2007). خشکسالی یکی از پرهزینه‌ترین بلایای طبیعی در ایران نیز می‌باشد (Khoshnodifar et al., 2010). به طوری که طی ۴۰ سال گذشته، ایران ۲۷ خشکسالی را تجربه کرده است. از دهه‌ی ۸۰ به بعد اغلب وضعیت خشکسالی در کشور حاکم بوده است. ویژگی‌های اصلی خشکسالی اخیر تنها محدود به طبیعت گسترده و شدید آن نیست، بلکه اثرات آن به واسطه نزدیکی با خشکسالی قبلی (۱۳۷۷-۱۳۸۰) تشدید شده است (Keshavarz, 2013, et al.). بارش یکی از فاکتورهای مهم اقلیمی است که نقش بسزایی در کشاورزی دارد، اگرچه آب به دست آمده از بارش بنا به توانمندی جوامع و شرایط زمان و فصول مختلف مصارف متفاوتی دارد، ولی اغلب اوقات مازاد آن که به مراتب درصد بیشتری را نسبت به مصرف بهینه دربرمی‌گیرد، به صورت کنترل نشده موجب جاری شدن سیلاب‌ها و خسارت ناشی از آن می‌گردد. این

در حالی است که معضل خشکسالی و صدمات ناشی از آن همواره برای جوامع جانوری، گیاهی و انسانی مشکلات فراوانی به همراه آورده است. خشکسالی جزو بلایای طبیعی نامحسوس است که بر اثر کمبود بارش طی یک دوره زمانی، معمولاً یک فصل و یا بیشتر به وجود می‌آید. هدف از ارزیابی ریسک خشکسالی، شناسایی اقدامات مناسب به منظور کاهش آسیب‌های بالقوه است. درنتیجه ارزیابی ریسک خشکسالی، تصمیم سازان می‌توانند خطر را درک کرده و آسیب‌های واردہ به بخش‌های مختلف از جمله کشاورزی و منابع طبیعی را پیش‌بینی نمایند. ارزیابی ریسک خشکسالی، بررسی اثرات این پدیده بر روی فعالیت‌های انسانی، سیستم‌های اقتصادی، اجتماعی و محیط زیستی است.

رمضانی گورابی (۱۳۸۴)، پدیده خشکسالی را با استفاده از شاخص درصد نرمال بارندگی در نواحی مرکزی گیلان مورد پژوهش قرار داد. نتایج نشان داد با روش شاخص درصد نرمال بارندگی مناطق ساحلی و جلگه‌ای در شرایط خشکسالی و مناطق کوهپایه و کوهستانی در شرایط تراسالی می‌باشد. (رمضانی گورابی و کاظم نژاد، ۱۳۹۰)، تاثیر نوسانات بارش بر میزان تولید محصولات کشاورزی در شهرستان رودبار و محصول زیتون را مورد پژوهش قرار دادند. نتایج تحقیق نشان داد که این شهرستان از نظر فراوانی وقوع طی دوره آماری، در سال‌های ۸۶-۸۷ و ۷۲-۷۳ به ترتیب با خشکسالی و تراسالی مواجه بوده است. (رضایی، ۱۳۸۵)، به بررسی بحران آب در استان گیلان و راهکارهای مقابله با آن پرداخت. نتایج حاصل از تحقیق نشان داد که پتانسیل آبی موجود استان حدود ۴ برابر نیاز فعلی است بنابراین مشکل کم آبی و بحران آب در استان برخلاف سایر نقاط کشور به عوامل طبیعی ارتباطی نداشته و به ریشه در مدیریت منابع آب و شیوه‌های بهره برداری از آن برمی‌گردد. (قاسمی نژاد و همکاران، ۱۳۹۳)، در تحقیق خود به ارزیابی ریسک خشکسالی استان اصفهان پرداختند. نتایج نشان داد که مناطق مرکزی استان نسبت به وقوع خشکسالی بسیار شدید مستعدتر است و استعداد مناطق شمال و شمال شرق به خشکسالی شدید، زیاد است. (امین و ملکی نژاد، ۱۳۹۶)، در تحقیق خود بررسی و مقایسه دوره‌های خشکسالی را با استفاده از نمایه‌های مبتنی بر بارش در برخی مناطق مرکزی و غرب کشور انجام دادند. داده‌های بارش سالانه یک دوره آماری ۶۰ ساله (۲۰۱۰-۱۹۵۱) را برای استان‌های کرمانشاه، کردستان، کرمان و یزد مورد استفاده قراردادند. نتایج نشان داد از نظر تعداد رخدادهای خشکسالی و تراسالی استان‌های یزد، کرمانشاه، کرمان و کردستان به ترتیب دارای بیشترین فراوانی بودند. (جعفری و همکاران، ۱۳۹۷)، پیش‌بینی خشکسالی‌های استان خراسان شمالی را با مدل HADCM3 و شاخص‌های SPI و RDI بررسی کردند. (کاظم نژاد و همکاران، ۱۳۹۷)، مطالعه باهدف بررسی و برآورد آسیب‌پذیری کشاورزی در برابر تغییرات آب و هوایی، شاخص آسیب‌پذیری CVI برای ۱۶ شهرستان استان گیلان را موردمحاسبه قراردادند. نتایج نشان داد برحسب شاخص CVI شهرستان‌های رشت (۶۱,۵۸) و تالش (۵۵,۲۱) بیشترین میزان آسیب‌پذیری و به تبعیت از آن کمترین قدرت سازگاری با تغییرات آب و هوایی را نسبت به سایر شهرستان‌ها دارا بودند. (فیروزی و همکاران، ۱۳۹۸)، هدف از مطالعه خود را واکنش دو شاخص پوشش گیاهی NDVI و EVI به خشکسالی‌ها و تراسالی‌ها در یکی از دشت‌های خشک ایران یعنی دشت سیستان در شمال استان سیستان و بلوچستان بیان کردند. نتایج نشان داد شاخص NDVI شاخص بسیار مناسب‌تری برای پویایی پوشش گیاهی در دشت‌هایی مانند دشت سیستان بود که حیات آن‌ها نه با روش بلکه به آب جاری در رودخانه متکی بود.

معدنچی و همکاران (۱۳۹۸)، مطالعه‌ای در کرمان با عنوان پنهان‌بندی خشکسالی‌های اقلیمی و بزرگی خشکسالی با استفاده از شاخص SPI و زمین‌آمار کریجینگ انجام دادند. نتایج حاصل از تحقیق مشخص کرد که قسمت‌هایی از جنوب غربی و غرب استان در محدوده شهرستان‌های بافت، رابر و سیرجان از نظر احتمال وقوع خشکسالی از حساسیت بیشتری برخوردار بودند و هرچه مقیاس زمانی بالاتر رفت قدر مطلق مجموع دوره‌های خشک بیشتر شد. (زارعی و همکاران، ۱۳۹۹)، پژوهش خود را باهدف ارزیابی آسیب‌پذیری اقلیمی آبخیز سامیان در استان اردبیل انجام دادند. نتایج حاصل از تلفیق همه شاخص‌ها نشان داد که زیر حوضه‌های ۱۵، ۱۶ و ۱۷ واقع در غرب دارای آسیب‌پذیری خیلی زیاد و زیر حوضه‌های ۲۰، ۲۱ و ۲۴ واقع در بخش‌هایی از

شمال و مرکز دارای کمترین آسیب‌پذیری‌اند. (مرتضایی فریزهندی و همکاران، ۱۳۹۹)، فاصله زمانی بین وقوع خشکسالی هواشناسی و خشکسالی هیدرولوژیکی، در جهت تمہیدات لازم برای مقابله با خشکسالی ناشی از کمبود منابع آبی سطحی و زیرزمینی را تعیین کردند.<sup>1</sup> Rajsekhar et al (2015)، تأثیرات احتمالی تغییر در تنوع آب و هوا را بر خصوصیات انواع مختلف خشکسالی مورور کردند. از نظر آن‌ها به طور کلی، انتظار می‌رفت این یافته‌ها به دستیابی به یک استراتژی مؤثر در کاهش خشکسالی برای ایالت تگزاس کمک کند. (Yuan et al, 2017)، در مطالعه خود یک شاخص خشکسالی جدید، شاخص عرضه و تقاضای استاندارد آب (SSDI) را ارائه کردند. نتایج نشان داد میانگین سطح خشکسالی طی سال‌های ۲۰۱۱ تا ۹/۹ به  $10^3 \times 9/9$  کیلومترمربع رسید که از کل سطح زمین‌های کشاورزی در MLJRB تشکیل می‌داد، که تقریباً دو برابر منطقه خشکسالی طی سال‌های ۱۹۶۱ تا ۲۰۰۰ بود. (Ayanlade et al, 2018)، در مقاله خود ویژگی‌های خشکسالی را به عنوان شواهدی از تغییرات آب و هوایی در دو منطقه کشاورزی، آب و هوایی نیجریه بررسی کردند. نتایج نشان داد که میزان بارندگی مکانی و زمانی برای ایستگاه‌ها زیاد بود. (Chen et al, 2019)، در پژوهشی با استفاده از نظریه سیستم فاجعه و با اشاره به مکانیزم‌های زمینه‌ساز خطر خشکسالی کشاورزی، سطح از دست دادن عملکرد محصول بر اساس خطرات و نهادهای زیست‌محیطی و آسیب‌پذیر (محصولات) را تعیین کردند. نتایج مطالعه زمینه علمی را برای پیشگیری و کاهش خشکسالی‌های کشاورزی در آینده و همچنین منطقی سازی بیمه‌های مرتبط فراهم کرد. (Adnan & Ullah, 2020)، مطالعه خود را با استفاده از داده‌های مشبك مشاهداتی ۶۰ ساله ( $5/0 \times 5/0$  درجه) از بارش جهانی از مرکز آب و هوای جهانی بارش و رطوبت خاک از مرکز پیش‌بینی آب و هوای اقلیم‌شناسی خشکسالی فضایی و زمانی بیش از پاکستان به انجام رساندند. یافته‌های آن‌ها ۱۹ منطقه را نشان داد که به شدت در معرض خشکسالی بودند، با مناطق شمالی در معرض خشکسالی خفیف، در حالی که مناطق مرکزی و جنوبی در معرض حوادث خشکسالی زیاد بودند.

## مواد و روش‌ها

### ۰ معرفی محدوده مطالعاتی

استان گیلان، یکی از استان‌های شمالی کشور بالغ بر ۱۴ هزار کیلومترمربع مساحت دارد. در میان رشته کوه‌های البرز و تالش در شمال ایران جای گرفته و حدود ۰/۹٪ از مساحت کل کشور را در بر گرفته است. این استان در ۳۶ درجه و ۳۴ دقیقه تا ۳۸ درجه و ۲۷ دقیقه عرض شمالی و ۴۸ درجه و ۵۳ دقیقه تا ۵۰ درجه و ۳۴ دقیقه طول شرقی از نصف‌النهار قرار گرفته است. بر اساس آخرین تقسیمات کشوری، در زمان اجرای سرشماری نفوس و مسکن ۱۳۹۵ استان گیلان دارای ۱۶ شهرستان، ۵۲ شهر، ۴۳ بخش و ۱۰۹ دهستان است و ۲۹۴۲ آبادی بوده است (سالنامه آماری گیلان، ۱۳۹۵). در شکل شماره (۱) نمایی از استان گیلان و شهرستان‌های آن و در شکل شماره (۲) نمایی از استان گیلان بر روی تصاویر ماهواره‌ای و Google Earth مشاهده می‌شود.



شکل (۲): نمایی از استان گیلان در تصاویر MEO (منبع: نگارندگان)



شکل (۱): نمایی از استان گیلان در ایران

## • داده‌های مورد استفاده

داده‌های مورد استفاده در پژوهش، میزان آبهای سطحی، میزان تخلیه آب زیرزمینی، مجموع بارندگی، متوسط دمای سالانه، دسترسی به آب سالم و بهداشتی، جمعیت تحت پوشش تاسیسات فاضلاب، میزان اراضی کشاورزی، متوسط درآمد، سطح آموزش، میزان مرگ و میر، تولید محصولات بخش کشاورزی، تعداد شاغلان بخش کشاورزی، تنوع و کیفیت محصولات کشاورزی، فراوانی شدت خشکسالی، از دست دادن زیستگاه، تراکم دام، میزان فاصله از مراکز استان، تراکم جمعیت انسانی، میزان پوشش گیاهی از طرح جامع آب کشور، تصاویر ماهواره‌ای TRMM، سازمان هواشناسی، شرکت مهندسی آب و فاضلاب کشور، وزارت جهاد کشاورزی، مرکز آمار ایران، وزارت آموزش و پرورش، سازمان جنگلها، مرتع و آبخیزداری سازمان راهداری و حمل و نقل جاده‌ای دریافت و با اتصال اطلاعات توصیفی به نقشه شهرستان‌ها تبدیل به نقشه شد.

## • روش تحقیق

روش تحقیق تحلیلی مکانی با نگرش سیستمی و ازنظر هدف کاربردی است. برای جمع آوری اطلاعات از مطالعات کتابخانه‌ای و آماری و بررسی‌های میدانی استفاده شده است. در ابتدا مؤلفه‌های شاخص آسیب‌پذیری اقلیمی استان گیلان تعیین گردیده، سپس اطلاعات موردنیاز در مورد مؤلفه‌های موردنظر با استفاده از روش‌های لازم تهیه شد. شاخص‌های انتخابی، در جدول ۱ نشان داده شده است.

### - اجرای روش فازی

منطق فازی، زمینه را برای استدلال، کنترل و تصمیم‌گیری در شرایط عدم اطمینان فراهم می‌کند. بر اساس این منطق بین حالت قبول و غیرقابل قبول می‌توان درجات مختلف مقبولیت را تصور کرد که معمولاً دامنهٔ تغییرات استانداردسازی بین اعداد ۰ و ۱ (مقیاس اعداد حقیقی) و یا ۰ و ۲۵۵ (مقیاس بایت) است (Eastman, 2006:108). در این رابطه نیاز است که برای فازی نمودن نقشه‌های فاکتور، مقادیر آستانه معیارها (حداقل دو تا چهار نقطه: a, b, c, d)، نوع (کاهنده یکنواخت، افزاینده یکنواخت، متقارن) و شکل تابع عضویت (خطی<sup>۱</sup>، تابع تعریفی توسط کاربر<sup>۲</sup>، S شکل<sup>۳</sup> و J شکل<sup>۴</sup>) تعیین گردد. درنهایت با استفاده از عملگرهای فازی GAMA و SUM شاخص‌ها همپوشانی شدند. همپوشانی یکی از توابع مکانی است که می‌تواند لایه‌های مکانی که از منابع معجزا به دست آمده‌اند را به منظور کاربردهای پهنه‌بندی و مکان‌یابی با استفاده از مدل‌های ترکیبی با یکدیگر تلفیق کند. لایه جدید (خروجی) به صورت تابعی از دو یا چند لایه ورودی می‌باشد. در این تحقیق جهت همپوشانی لایه‌ها از عملگر فازی SUM و GAMA جهت همپوشانی استفاده شد.

$$\mu_{combination} = \text{MIN}(\mu_A, \mu_B, \dots) \quad (1)$$

عملگر فازی SUM مشابه مجموع در مجموعه‌های کلاسیک می‌باشد و زمانی استفاده می‌شود که دو یا چند معیار باهم می‌توانند به حل یک مسئله کمک کنند. (Alsheykh, 2008:457; Jiang & Eastman, 2000:175). عملگر گاما حالت کلی ضرب جبری عملگر ضربی و جمعی فازی می‌باشد که هر دو به توان گاما رسانده شده‌اند و زمانی به کار می‌رود که تأثیرات کاهشی و افزایشی در تعامل معیارها وجود داشته باشد.

### - اجرای روش CVI

شاخص CVI برای مدیریت یکپارچه منابع آبی به کار می‌رود. این شاخص توسعه یافته‌ی شاخص WPI است و از شش محور اصلی برای نشان دادن تأثیر تغییرات آب و هوایی بر منابع آب تشکیل شده است.

1. Linear
2. User define
3. Sigmoidal
4. J- Shape

این مؤلفه‌ها عبارتند از منابع (R)، هواشناختی (W)، دسترسی (A)، ظرفیت (C)، استفاده و بهره‌وری اقتصادی (U)، حفظ یکپارچگی زیست محیطی (E)، ویژگی‌های جغرافیایی (G) برای محاسبه CVI در نظر گرفته شده‌اند. در این راستا مطالعات متعدد کشوری در مقیاس منطقه‌ای انجام شده است. انتخاب زیر شاخص‌ها باید با در نظر داشتن رابطه آسیب پذیری و تغییرات اقلیمی صورت گیرد. بهترین راه برای انتخاب این زیر شاخص‌ها مشورت با متخصصین مربوطه است. پس از انتخاب داده‌های مربوطه، شاخص نهایی برای مناطق مختلف از میانگین گیری مؤلفه‌ها به دست خواهد آمد.

$$CVI = \frac{r_R + r_W + r_A + r_C + r_U + r_E + r_G}{r_r + r_w + r_a + r_u + r_e + r_g} \quad (2)$$

در رابطه فوق، وزن مؤلفه هر فاکتور است که در اینجا برای هماهنگ بودن با تحقیقات جهانی انجام شده، یکسان در نظر گرفته شده است (Sullivan & Meigh, 2005:18). بدیهی است که شاخص‌ها در واحدها و مقیاس‌های مختلفی هستند. بنابراین، هر کدام از این متغیرها باید در ابتدا نرمال شده تا قابل مقایسه شوند. جهت نرمال سازی از رابطه  $^3$  استفاده شد. در جدول ۱، مؤلفه‌ها و متغیرهای آن، مقدار و واحد و منبع دریافت نشان داده شده است.

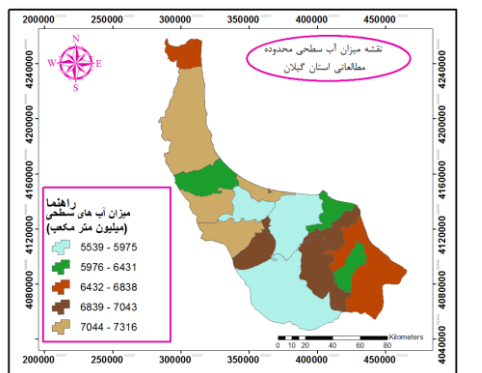
$$\text{ارزش شاخص} = \frac{\text{(مقدار حداقل - مقدار واقعی)} * 100}{\text{مقدار حداقل - مقدار حداکثر}} \quad (3)$$

جدول (۱): شاخص‌های CVI و مقدار آن‌ها

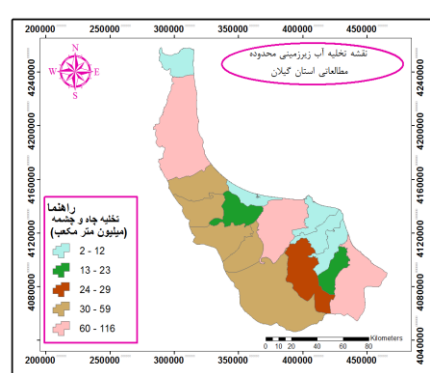
منبع	واحد	مقدار	متغیر	مؤلفه‌های CVI
طرح جامع آب کشور	میلیون متر مکعب در سال	۱۰۶۶۷۲	میزان آبهای سطحی	منابع (R)
طرح جامع آب کشور	میلیون متر مکعب در سال	۷۹۸	میزان تخلیه آب زیرزمینی	
TRMM تصاویر ماهواره‌ای	میلیمتر در سال	۱۰۴۴,۲۴۵	مجموع بارندگی	هواشناختی (W)
سازمان هواشناسی	درجه سانتیگراد	۱۵,۵۳۶	متوسط دمای سالانه	
شرکت مهندسی آب و فاضلاب کشور	نفر	۵۰۴۳۵۶	دسترسی به آب سالم و بهداشتی	دسترسی (A)
شرکت مهندسی آب و فاضلاب کشور	نفر	۲۸۷۰۳۸	جمعیت تحت پوشش تاسیسات فاضلاب	
وزارت جهاد کشاورزی	هکتار	۳۱۱۵۹۲	میزان اراضی کشاورزی	ظرفیت (C)
مرکز آمار ایران	ریال	۲۹۴۸۸۷	متوسط درآمد	
وزارت آموزش و پرورش	نفر	۲۰۵۶۰۸۷	سطح آموزش	
مرکز آمار ایران	نفر	۱۸۳۶۴	میزان مرگ و میر	
وزارت جهاد کشاورزی	کیلو گرم در هکتار	۱۱۵۶۲۹۹	تولید محصولات بخش کشاورزی	استفاده و بهره‌وری اقتصادی (U)
مرکز آمار ایران	نفر	۶۰۷۵۲۳	تعداد شاغلان بخش کشاورزی	
وزارت جهاد کشاورزی	کیلو گرم در هکتار	۱۱۵۶۲۹۹	تنوع و کیفیت محصولات کشاورزی	حفظ یکپارچگی زیست محیطی (E)
سازمان هواشناسی	درصد	۲۷,۹۱	فراوانی شدت خشکسالی	
سازمان جنگلهای، مراع و آبخیزداری کشور	هکتار	۲۲۵۴	از دست دادن زیستگاه	
وزارت جهاد کشاورزی	تعداد احشام بر مساحت	۲۹۰۵۸۴	تراکم دام	
سازمان راهداری و حمل و نقل جاده‌ای	کیلومتر	۵۱,۸۱۴	میزان فاصله از مرکز استان	ویژگی‌های جغرافیایی (G)
مرکز آمار ایران	تعداد نفرات در بخش	۵۶۷۵۶	تراکم جمعیت انسانی	
سازمان جنگلهای، مراع و آبخیزداری کشور	هکتار	۱۰۱۹۴۶۳	میزان پوشش گیاهی	

## یافته‌های تحقیق

در شکل‌های ۳ تا ۸، نمایی از تعدادی از پارامترهای اولیه پژوهش مشاهده می‌شود. پارامترهای میزان تخلیه چشمه‌ها و چاه‌ها و میزان آب‌های سطحی از آمار و اطلاعات آب منطقه‌ای در سال آبی ۱۳۹۷ - ۱۳۹۸ استفاده شد. برای شهرستان‌های استان گیلان نیز آمار و اطلاعات به تفکیک موجود بوده است که در شکل ۳ و ۴، نمایی از منابع آب‌های زیرزمینی و سطحی استان مشاهده می‌شود. در نقشه تخلیه آب زیرزمینی، مناطق مرتفع‌تر استان، دارای استعداد بیشتری در تخلیه آب زیرزمینی می‌باشد. در نقشه آب‌های سطحی شهرستان‌های تالش، فومن و شفت و انزلی دارای استعداد بالاتری می‌باشد.

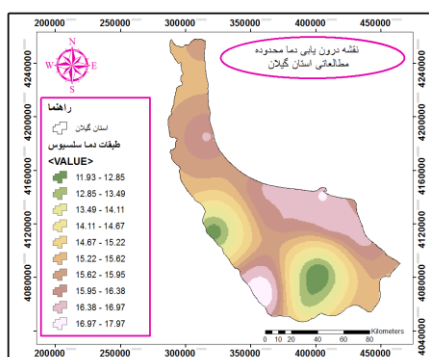


شکل (۴): میزان آب‌های سطحی و چاه‌های استان گیلان

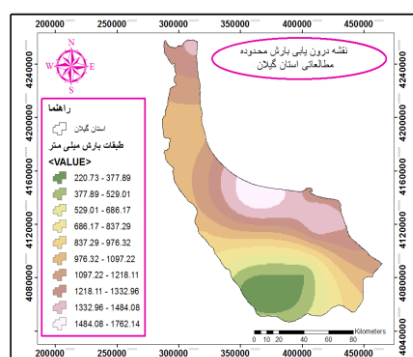


شکل (۳): نقشه تخلیه چشمه‌ها و چاه‌های استان گیلان

از آمار اطلاعات سازمان هواشناسی استان گیلان آمار بارندگی سالانه و دمای سالانه برآورد گردید که آمار ارائه شده مربوط به شهرهای استان می‌باشد که در عملیات درون‌یابی کریجینگ نقشه پهنه‌های آن‌ها به دست آمد و در شکل‌های ۵ و ۶، نشان داده شده است. در نقشه هم دمای استان میزان دما از شهرستان‌های جلگه‌ای به سمت ارتفاعات کاسته می‌شود و در نقشه هم بارش استان، میزان بارش در شهرستان تالش، ارتفاعات شهرستان فومن، روسر، شفت بیشترین مقدار است.

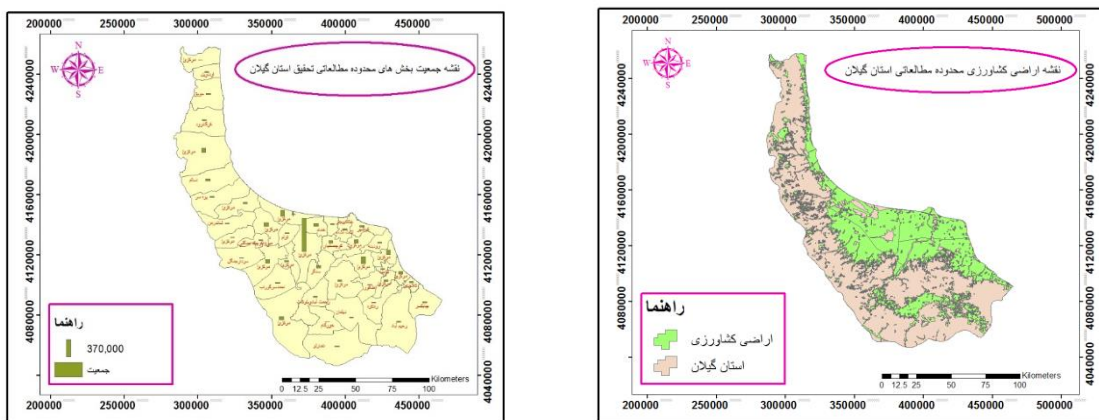


شکل (۶): نقشه درون‌یابی بارش شهرهای مطالعاتی استان گیلان



شکل (۵): نقشه درون‌یابی دمای شهرهای استان گیلان

با استفاده از آمار و اطلاعات سازمان جهاد کشاورزی استان گیلان، نقشه اراضی کشاورزی استان گیلان آماده شده که در شکل ۷، نشان داده شده است. در نقشه اراضی کشاورزی، همه شهرستان‌ها در بخش جلگه‌ای و نزدیک به دریا دارای کاربری کشاورزی می‌باشند که بخش اعظم مساحت استان را به خود اختصاص داده است. نقشه جمعیت بخش‌های استان نیز بر اساس آمار اطلاعات سرشماری سال ۱۳۹۵، در GIS آماده‌سازی شد که در شکل ۸ نشان داده شده است. در نقشه جمعیت بخش‌های استان گیلان، بخش مرکزی شهرستان رشت دارای بالاترین آمار جمعیتی و بخش خورگام دارای کمترین آمار جمعیتی بوده است.



شکل (۷): نقشه اراضی کشاورزی استان گیلان

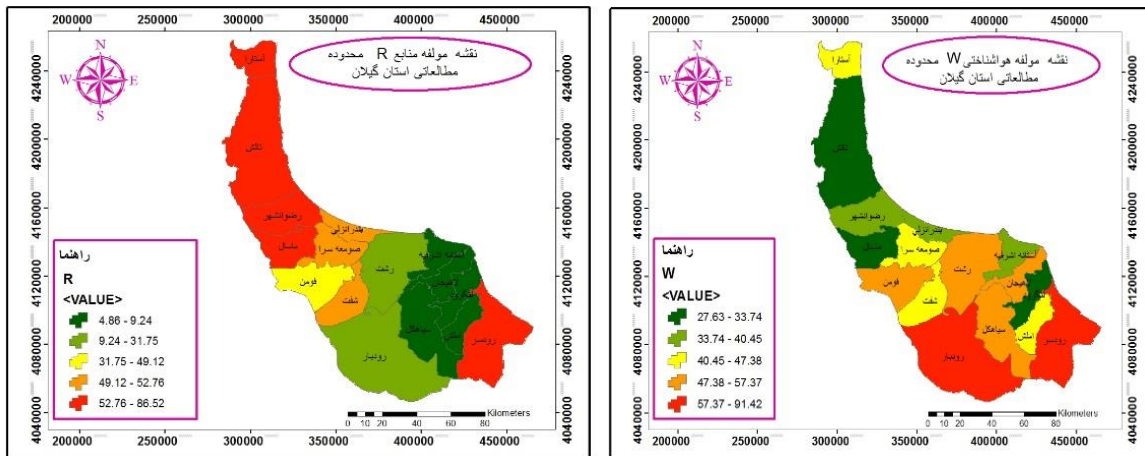
### نتیجه‌گیری

با نرمال سازی مولفه‌های، منابع (R)، هواشناختی (W)، دسترسی (A)، ظرفیت (C)، استفاده و بهره وری اقتصادی (U)، حفظ یکپارچگی زیست محیطی (E)، ویژگی‌های جغرافیایی (G)، نتایج به صورت جدول ۲، به دست آمد.

جدول (۲): نرمال سازی مولفه‌های آسیب پذیری در شهرستان‌های استان گیلان (درصد)

نام شهرستان	منابع (R)	هواشناختی (W)	دسترسی (A)	ظرفیت (C)	استفاده و بهره وری اقتصادی (U)	حفظ یکپارچگی زیست محیطی (E)	ویژگی‌های جغرافیایی (G)	مولفه CVI
کل استان	۵۶/۱۲	۴۸/۴۱	۳۶/۹۴	۳۸/۱۷	۴۱/۵۳	۴۸/۳۱	۴۲/۰۴	۴۴/۵٪
آستانرا	۵۸/۵۳	۴۲/۱۶	۳۶/۸۲	۱۱/۰۲	۳۳/۹۱	۳۴/۶۲	۴۶/۲۲	۳۷/۶۱٪
آستانه اشرفیه	۶/۴۱	۳۶/۲۸	۸/۷۹	۴۹/۳۱	۶۱/۰۳	۳۹/۱۷	۴۹/۰۲	۳۵/۷۱٪
املش	۵/۹۳	۴۲/۹۰	۵۲/۶۷	۴۱/۷۴	۳۹/۵۷	۳۰/۷۱	۳۷/۲۵	۳۵/۸۲٪
بندرانزلی	۵۰/۷۴	۴۰/۴۵	۴/۹۱	۲/۴۹	۳۱/۹۷	۴۳/۵۳	۴۱/۱۲	۳۰/۸۸٪
تالش	۸۶/۵۲	۲۷/۶۳	۴۷/۲۰	۵۳/۱۹	۴۳/۱۰	۸۶/۱۷	۶۹/۶۲	۵۹/۰۶٪
رشت	۳۱/۷۴	۴۸/۸۲	۹۱/۸۰	۴۲/۸۴	۴۲/۰۴	۴۱/۰۳	۴۳/۵۸	۴۸/۸۳٪
رضوانشهر	۶۲/۵۹	۳۵/۱۶	۲۵/۰۳	۳۴/۱۹	۲۹/۱۵	۳۲/۱۸	۳۰/۲۱	۳۵/۵۰٪
رودبار	۱۹/۹۲	۹۱/۴۲	۵۲/۷۱	۴۴/۲۳	۳۹/۷۴	۲۷/۷۳	۴۰/۲۲	٪۴۵,۱۳
رودسر	۸۱/۴۹	۵۹/۳۶	۴۹/۳۹	۳۹/۱۷	۳۶/۸۰	۴۴/۱۹	۳۳/۰۱	۴۹/۰۵٪
سیاهکل	۹/۲۴	۵۴/۷۳	۴۱/۲۱	۵۱/۹۳	۳۲/۸۰	۸۵/۴۷	۲۵/۱۸	۴۲/۹۳٪
شفت	۵۲/۷۶	۴۱/۹۵	۵۹/۰۲	۵۹/۲۲	۳۸/۲۹	۶۳/۹۲	۴۳/۷۲	۵۱/۱۴٪
صومعه سرا	۵۰/۱۷	۴۷/۳۸	۵۶/۴۰	۳۹/۰۴	۵۱/۲۲	۵۸/۰۱	۳۰/۲۸	۴۷/۵٪
فونمن	۴۹/۱۲	۵۰/۴۱	۱۹/۲۶	۴۸/۲۱	۴۱/۹۰	۴۹/۲۰	۴۰/۳۷	۴۲/۶۳٪
لاهیجان	۴/۸۶	۵۷/۳۷	۳۸/۵۴	۲۴/۸۱	۵۲/۷۴	۲۵/۸۱	۳۸/۴۵	۳۴/۶۵٪
لنگرود	۸/۹۵	۲۹/۴۰	۲۷/۶۸	۳۴/۰۹	۴۸/۰۱	۳۴/۱۹	۴۱/۹۰	۳۲/۰۳٪
ماسال	۹۵/۸۱	۳۳/۷۴	۱۵/۴۹	۴۶/۰۳	۳۹/۱۶	۴۸/۹۲	۲۸/۱۹	۳۹/۶۱٪

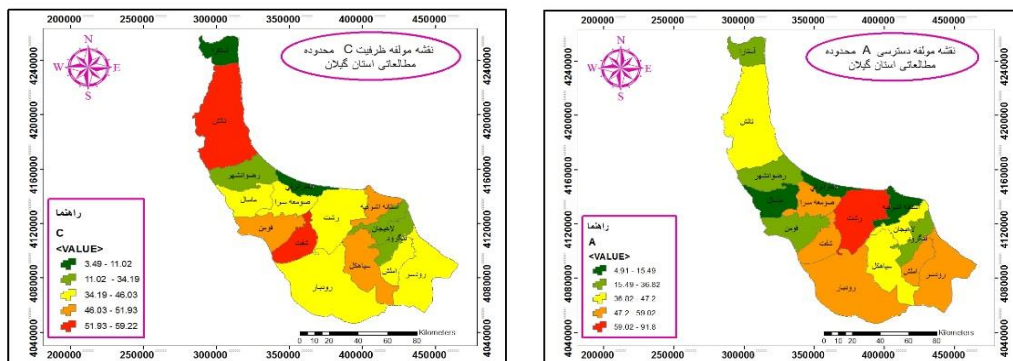
در نقشه مولفه‌های منابع R، شهرستان‌های رودسر و رودبار بیشترین آسیب‌پذیری و شهرستان‌های تالش، ماسال، کمرتین آسیب‌پذیری را نشان داده است که در شکل ۹ مشاهده می‌شود. در نقشه مولفه‌های هواشناختی W، شهرستان‌های آستارا، تالش، رضوانشهر، ماسال بیشترین آسیب‌پذیری و شهرستان‌های آستانه اشرفیه، لاهیجان، لنگرود، املش، سیاهکل کمرتین آسیب‌پذیری را داشته است.



شکل (۹): نقشه مولفه‌های هواشناختی W

شکل (۱۰): نقشه مولفه‌های منابع R

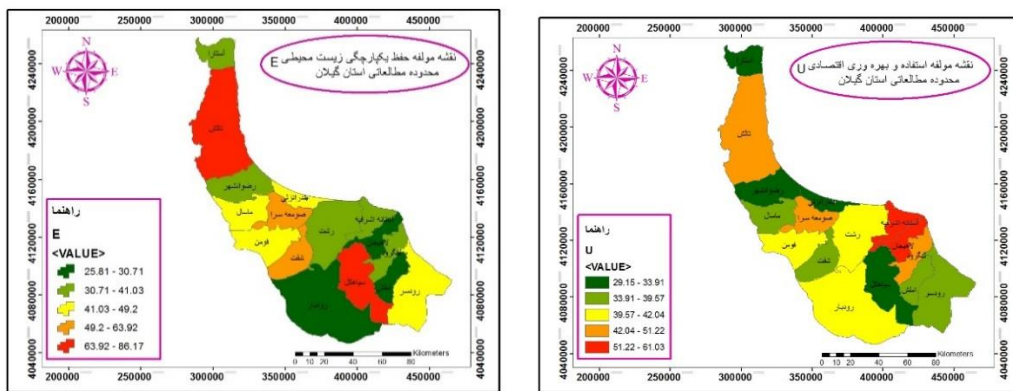
در نقشه مولفه‌های دسترسی A، شهرستان رشت بیشترین آسیب‌پذیری و شهرستان‌های ماسال، بندرانزلی، آستانه اشرفیه کمرتین آسیب‌پذیری را نشان داده است که در شکل ۱۱ مشاهده می‌شود. در نقشه مولفه‌های ظرفیت C، شهرستان‌های تالش و شفت بیشترین آسیب‌پذیری و شهرستان‌های آستارا و بندرانزلی کمرتین آسیب‌پذیری را داشته است.



شکل (۱۲): نقشه مولفه‌های ظرفیت C

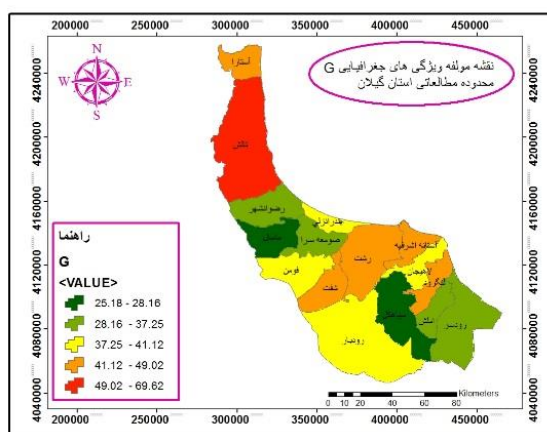
شکل (۱۱): نقشه مولفه‌های دسترسی A

در نقشه مولفه‌های استفاده و بهره‌وری اقتصادی U، شهرستان‌های اشرفیه و لاهیجان بیشترین آسیب‌پذیری و شهرستان‌های آستانه، رضوانشهر، بندرانزلی، سیاهکل کمرتین آسیب‌پذیری را نشان داده است که در شکل ۱۳ مشاهده می‌شود. در نقشه مولفه‌های حفظ یکپارچگی زیست محیطی E، شهرستان‌های تالش و سیاهکل بیشترین آسیب‌پذیری و شهرستان‌های رودبار، لاهیجان و املش کمرتین آسیب‌پذیری را داشته است.



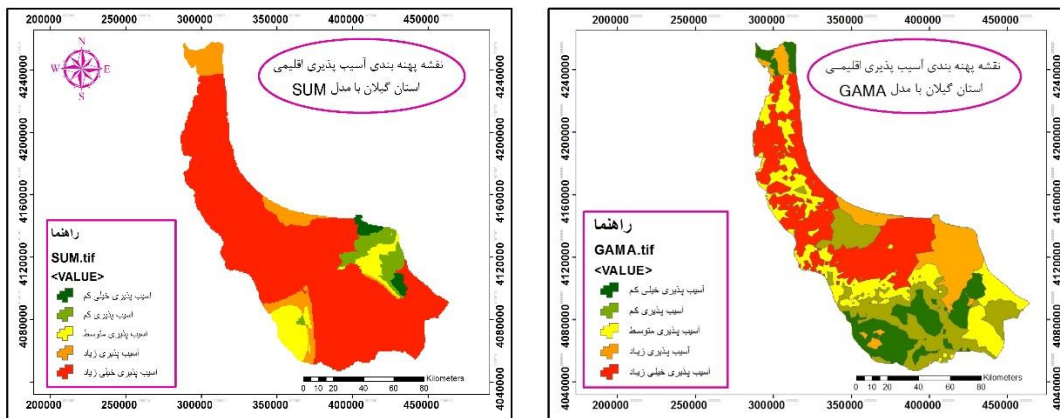
شکل (۱۴): نقشه مولفه‌های حفظ یکپارچگی زیست محیطی E

شکل (۱۳): نقشه مولفه‌های استفاده و بهره وری اقتصادی U



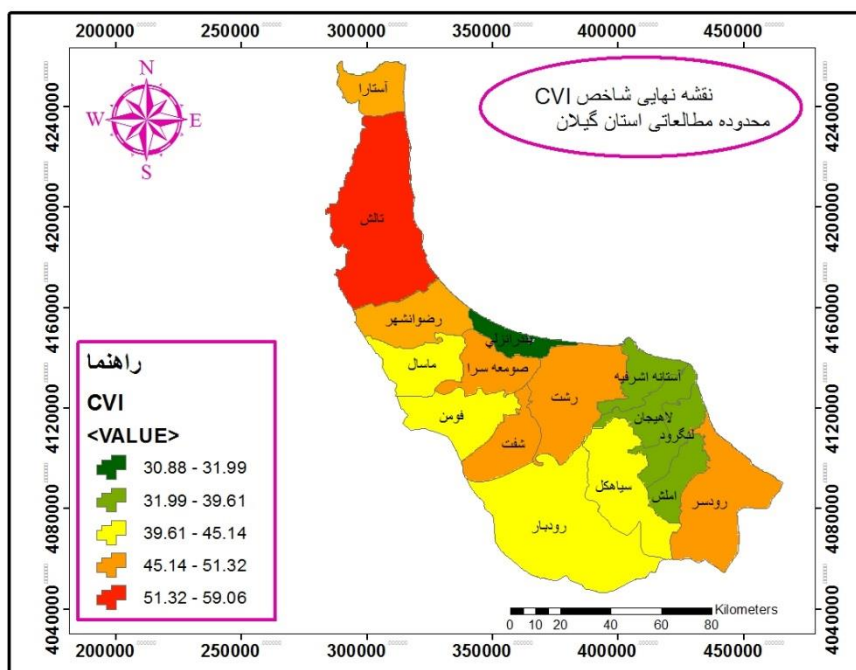
شکل (۱۵): نقشه مولفه‌های ویژگی‌های جغرافیایی G

پس از تهیه نقشه‌های منابع(R)، هواشناختی(W)، دستری(C)، استفاده و بهره‌وری اقتصادی(U)، حفظ یکپارچگی زیست محیطی(E)، ویژگی‌های جغرافیایی(G)، نقشه پهنه بندی نهایی مدل SUM و GAMA و شاخص CVI به دست آمد که در شکل‌های ۱۶ تا ۱۸ نشان داده شده است.



شکل (۱۷): نقشه پهنه بندی نهایی مدل SUM

شکل (۱۶): نقشه پهنه بندی نهایی مدل GAMA



شکل (۱۸): نقشه نهایی شاخص CVI

در اپراتور SUM، متتم ضرب متمم مجموعه‌ها محاسبه می‌شود. به همین دلیل در نقشه خروجی برخلاف اپراتور ضرب جبری فازی ارزش پیکسل‌ها به سمت یک میل می‌کند. در نتیجه تعداد پیکسل بیشتری در کلاس خیلی خوب قرار می‌گیرد. به همین دلیل این اپراتور حساسیت کمتری در مکانیابی دارد. جهت تعدیل حساسیت خیلی بالای اپراتور فازی ضرب و دقت خیلی کم اپراتور فازی جمع، اپراتور دیگری بنام فازی گاما معرفی شده است که حد فاصل عملگرهای ضرب و جمع فازی می‌باشد و نتایج منطقی‌تری نسبت به عملگر SUM و سایر عملگرهای فازی دارد. با بررسی‌های میدانی مدل CVI مشاهده شد این مدل تطبیق بیشتری با واقعیت‌های زمینی دارد.

جدول (۳): مساحت کلاس‌های آسیب پذیری در مدل‌های مورد استفاده در پژوهش بر حسب هکتار و درصد

نام کلاس	مدل SUM(هکتار)	مدل SUM(درصد)	مدل (GAMA)(هکتار)	مدل (GAMA)(درصد)	مدل (هکتار)	مدل (درصد)	CVI مدل
آسیب پذیری خیلی کم	۲۲۴۳۵/۰۹	۱/۶۵	۱۸۴۵۴۳/۲۳	۱۳/۶۴	۲۸۸۸۳۱/۸	۲۰/۸۸	
آسیب پذیری کم	۶۷۱۴۵/۴۰	۴/۹۵	۱۹۱۷۳۷/۴۲	۱۴/۱۷	۴۷۸۱۷۱/۱۷	۳۴/۵۷	
آسیب پذیری متوسط	۹۴۴۸۳/۱۷	۶/۹۶	۲۶۲۰۸۰/۲۲	۱۹/۳۷	۳۷۱۲۱۸/۱۴	۲۶/۸۴	
آسیب پذیری زیاد	۱۱۱۳۲۲/۸۱	۸/۲۱	۲۸۲۶۵۰/۱۶	۲۰/۹	۲۱۵۴۵۱/۴۷	۱۵/۵۷	
آسیب پذیری خیلی زیاد	۱۰۶۱۳۷۶/۹۳	۷۸/۲۳	۴۳۱۷۵۵/۵۸	۳۱/۹۲	۲۹۳۶۲/۷۹	۲/۱۲	

جدول (۴): مساحت کلاس‌های آسیب پذیری در مدل‌های مورد استفاده در پژوهش بر حسب ارتفاع و محدوده جغرافیایی

نام کلاس	مدل متوسط (ارتفاع متر)	مدل SUM (متوجهه جغرافیایی)	مدل GAMA (متوجهه جغرافیایی)	مدل AHP (متوجهه جغرافیایی)	مدل CVI (متوجهه جغرافیایی)
آسیب پذیری خیلی کم	۱۲۹	شمال آستانه و جنوب لاهیجان	۱۶۲	آستانه، آستانه، لاهیجان، شمال روبار	۳۵۶۴
آسیب پذیری کم	۳۳۴	مرکز آستانه، مرکز لاهیجان	۵۰۶	املش، دیلمان	۳۲۴۵
آسیب پذیری متوسط	۳۳۴	جنوب لاهیجان	۱۸۵۶	قسمت‌هایی از تالش، فومن، روبار، روسر	۱۸۷۷,۵
آسیب پذیری زیاد	۱۵۰۰	اتزلی، آستانه، شمال منجیل	۵۰۶	بخش‌هایی از روسر، منجیل، تالش	۱۲۷۶
آسیب پذیری خیلی زیاد	۱۲۰۰	تالش، رضوانشهر، مرکز استان، روبار	۱۲۹	مرکز استان	۳۴۹

## بحث

به منظور ارزیابی آسیب پذیری نسبت به خشکسالی در استان گیلان، در مطالعه حاضر پس از جمع‌آوری داده‌های مربوطه، اهمیت هر یک از معیارها مشخص گردید. در بررسی مولفه‌های CVI، شاخص CVI کل استان ۴۴/۵٪ به دست آمد. شاخص CVI در مولفه منابع (R) ۱۲/۵۶٪ بالاترین رتبه و در مولفه ۹۴/۳۶٪ کمترین رتبه را به دست آورد. در این مدل بیشترین آسیب پذیری در کل شهرستان تالش با مساحت ۱۵/۵۷ درصد می‌باشد. درصد آسیب پذیری زیاد ۲۶/۸۴ درصد در شهرستان‌های رشت، صومعه سرا، روسر و شفت مشاهده شد و شهرستان‌های آستانه و رضوانشهر با مساحت ۲۰,۸۸ درصد در کلاس آسیب پذیری خیلی کم مشاهده گردید. در مدل SUM، بیشترین آسیب پذیری خشکسالی در غرب، مرکز استان و نواحی وسیعی از شرق استان کل شهرستان روسر در مجموع با مساحت ۹۳/۳۷۶ هکتار مشاهده گردید. در مدل همپوشانی GAMA نیز، قسمت‌های وسیعی از غرب استان شهرستان تالش و کل شهرستان رشت با مساحت ۵۸/۷۵۵ هکتار در کلاس آسیب پذیری خیلی زیاد مشاهده گردید. ارتفاعات استان کمترین میزان خشکسالی را داشته است. نتایج پژوهش با نتایج تحقیقات (رمضانی گورابی و کاظم نژاد، ۱۳۹۰)، (معدنچی و همکاران، ۱۳۹۸)، (کاظم نژاد و همکاران، ۱۳۹۷)، (Chen et al., 2019) مطابقت داشت. به نظر می‌رسد که کاهش حجم آب ورودی سد سفیدرود که تأمین آب آشامیدنی ۸۰ درصد از استان گیلان و آب ۱۸۰ هزار هکتار از زمین‌های زراعی را به عهده دارد، به دلیل افزایش رسوبات و ساخت ۱۰ سد جدید بر روی سرشاخه‌های سفیدرود عامل اصلی بحران منابع آب در بخش میانی است. بررسی میزان بارش و تعیین خشکسالی‌ها از اهمیت فوق العاده‌ای برخوردار است. به تبع آن نتایج حاصله می‌تواند برای تصمیم گیران و برنامه‌ریزان در زمینه‌های مختلف مورد استفاده قرار گیرد. بررسی نقاطی که با خشکسالی بیشتر و شدیدتر مواجه‌اند و تمرکز بیشتر در آن نقاط، مدیریت مناسب مهندسی منابع آب، کم آبیاری، استفاده از هرز آب‌ها و اصلاح آبیاری کشاورزی و شهری، توسعه فضای سبز (جنگل) و تقویت خاک به جهت مواد معدنی و آلی (هوموس) برای حفظ و نگهداری آب موجود در خاک، همه و همه می‌تواند خسارات ناشی از خشکسالی را کاهش دهد.

## منابع

- امین، پیمان، ملکی نژاد، حسین. (۱۳۹۶). بررسی و مقایسه دوره‌های خشکسالی با استفاده از نمایه‌های مبتنی بر بارش در برخی مناطق مرکزی و غرب کشور، دانشگاه علوم کشاورزی و منابع طبیعی ساری، پژوهشنامه مدیریت حوزه آبخیز سال هشتم، شماره ۱۶، پاییز و زمستان ۱۳۹۶، صص ۲۷۱-۲۸۰.
- جعفری، قربان، شاهکوبی، اسماعیل، قانقرمه، عبدالعظيم. (۱۳۹۷). پیش‌بینی خشکسالی‌های استان خراسان شمالی با مدل HADCM3 و شاخص‌های SPI و RDI، مجله آمایش جغرافیایی فضای، فصلنامه علمی-پژوهشی دانشگاه گلستان، سال هشتم، شماره مسلسل سی ام، صص ۱۵۹-۱۷۴.
- رضابی، پرویز. (۱۳۸۵)، بحران آب در استان گیلان و راهکارهای مقابله با آن، فصل نامه چشم انداز جغرافیایی، سال اول، شماره ۳، صص ۶۷-۷۵.
- رمضانی گورابی، بهمن. (۱۳۸۴)، بررسی پدیده خشکسالی با استفاده از شاخص درصد نرمال بارندگی در نواحی مرکزی گیلان، بیان، جلد ۱۰، شماره ۲، صص ۲۴۹-۲۵۶.
- رمضانی گورابی، بهمن.، کاظم نژاد، زهرا.، (۱۳۹۰)، بررسی تاثیر نوسانات بارش بر میزان تولید محصولات کشاورزی در شهرستان رودبار(مورد مطالعاتی: محصول زیتون)، کنفرانس ملی هواشناسی و مدیریت آب کشاورزی پردیس کشاورزی و منابع طبیعی دانشگاه تهران.
- زارعی، شیرین، حرباوی، زینب، مصطفی زاده، رئوف، اسماعلی عوری، ابذر. (۱۳۹۹). مقایسه آسیب‌پذیری زیرحوضه‌های آبخیز سامیان بر اساس تغییرات مؤلفه‌های اقلیمی، پژوهش‌های جغرافیای طبیعی، دوره ۲۵، شماره ۵، تابستان ۱۳۹۹، صص ۲۱۷-۲۲۶.
- سرشماری نفوس و مسکن، (۱۳۹۵)، سازمان مدیریت و برنامه‌ریزی و فرج زاده اصل، منوچهر. (۱۳۷۴)، خشکسالی در ایران، مجله دانش کشاورزی تبریز. جلد ۴. شماره ۲ و ۱. صفحه ۳۱-۵۳.
- فیروزی، فاطمه، محمودی، پیمان، طاووسی، تقی. (۱۳۹۸). بررسی حساسیت دو شاخص پوشش گیاهی NDVI و EVI به خشکسالی‌ها و ترسالی‌ها در مناطق خشک و نیمه خشک (مطالعه موردی: دشت سیستان ایران)، فصلنامه علمی - پژوهشی اطلاعات جغرافیایی (سپهر)، دوره ۲۸، شماره ۱۰، صص ۱۶۳-۱۷۹.
- قاسمی نژاد، سعیده، سلطانی، سعید، سفیانیان، علیرضا. (۱۳۹۳). ارزیابی ریسک خشکسالی استان اصفهان، مجله علوم و فنون کشاورزی و منابع طبیعی، علوم آب و خاک، سال هجدهم، شماره شصت و هشتم، صص ۲۱۳-۲۲۵.
- کاظم نژاد، زهرا، فرج زاده اصل، منوچهر، برنا، رضا. (۱۳۹۷). ارزیابی آسیب‌پذیری کشاورزی استان گیلان با استفاده از «شاخص آسیب‌پذیری اقلیمی»، نشریه تحلیل فضایی مخاطرات محیطی، سال پنجم، شماره ۴، زمستان ۱۳۹۷، صص ۸۹-۱۰۶.
- کاویانی، محمدرضا، علیجانی، بهلول. (۱۳۷۸)، مبانی آب و هواشناسی، انتشارات سمت، چاپ ۱۴، ص ۵۹۰-۲۱۳.
- مرتضایی فریز‌هندي، قاسم، لطفی مغان‌جوقي، جعفر، خلیقی سیگارودی، شهرام، محسنی ساروی، محسن، نظری سامانی، علی اکبر. (۱۳۹۹). تحلیل و بررسی شاخص‌های خشکسالی هیدرولوژیکی استان کردستان، نشریه علمی-پژوهشی مهندسی و مدیریت آبخیز، جلد ۱۲، شماره ۲، صص ۴۴۱-۴۵۳.
- معدنچی، پیمان، شاهدی، کاکا، حبیب نژاد، محمود، سلیمانی، کریم، فاتحی مرج، احمد. (۱۳۹۸). پنهانی بندی خشکسالی‌های اقلیمی و بزرگی خشکسالی با استفاده از شاخص SPI و زمین آمار کریجینگ (مطالعه موردی: استان کرمان). نشریه علمی پژوهشی مهندسی آبیاری و آب ایران، سال دهم. شماره سی و هشتم، صص ۲۰۳-۲۲۶.

Adnan, S., Ullah, K. Development of drought hazard index for vulnerability assessment in Pakistan. *Nat Hazards* 103, 2989–3010 (2020). <https://doi.org/10.1007/s11069-020-04116-3>.

Alesheikh, A., Soltani, M., Nouri, N., Khalilzadeh, M., Land Assessment for Flood Spreading Site Selection Using Geospatial Information System, 2008, International Journal of Environmental Science and Technology, Vol .5, No .4, 455-462.

Aylande, A., Radeny, M., Morton, J.f., Muchaba, T., 2018. Rainfall variability and drought characteristics in two agro-climatic zones: An assessment of climate change challenges in Africa. *Science of The Total Environment*.

Chen, Fang, Jia, Huicong, Pan, Donghua, 2019. Risk Assessment of Maize Drought in China Based on Physical Vulnerability. *Journal of Food Quality*, vol. 2019, Article ID 9392769, 9 pages, 2019. <https://doi.org/10.1155/2019/9392769>.

Eastman, J.R. 2006. Idrisi Andes guide to GIS and Image processing, Clark University. 328p.

Füssel H. 2007. Vulnerability: A generally applicable conceptual framework for climate change research. *Global Environmental Change*, 17(2): 155-167.

Jiang, H. and Eastman,R., "Application of fuzzy measurement in multi\_ critria evaluation in GIS." 2000, International Journal of Geographical Information System,vol.14,No 2,pp.173-184.

Keshavarz M., Karami E., and Vanclay F. 2013. The social experience of drought in rural Iran. *Land Use Policy*,30: 120–129.

- Khoshnodifar Z., Sookhtanlo M. and Gholami H. 2012. Identification and measurement of indicators of drought vulnerability among wheat farmers in Mashhad County, Iran. Scholars Research Library. Annals of Biological Research, 3 (9):4593-4600 (available: <http://scholarsresearchlibrary.com/archive.html>).
- Miller, G. T. (1991). Environmental Sciences, Woods worth, pub Belmont, California.
- Palmer, W.C. (1965). "Meteorological Drought". US Weather Bureau Research Paper. Washington D.C. No.45.
- Rajsekhar, D., Singh, V. P., and Mishra, A. K. (2015), Integrated drought causality, hazard, and vulnerability assessment for future socioeconomic scenarios: An information theory perspective. *J. Geophys. Res. Atmos.*, 120, 6346– 6378. doi: 10.1002/2014JD022670.
- Song L.C., Deng Z.Y., and Dong A.X. 2003. Drought. China Meteorological Press, Beijing. 22.
- Sullivan, C. A. and Huntingford, C. (2009). "Water resources, climate change and human vulnerability." 18th World IMACS / MODSIM Congress, Cairns, Australia 13-17 July 2009.
- Van der Molen, M. K., Dolman, A. J., Ciais, P., Eglin, T., Gobron, N., Law, B. E., ... & Wang, G. (2011). Drought and ecosystem carbon cycling. *Agricultural and Forest Meteorology*, 151(7), 765-773. doi:10.1016/j.agrformet.2011.01.018.
- Xiao-Chen Y., Yu-Liang Z., Ju-Liang J., and Yi-Ming W. 2013. Risk analysis for drought hazard in China: a case study in Huaibei Plain. *Nat Hazards*, 67:879–900.
- Yuan, Zhe, Jijun Xu, Jin Chen, Junjun Huo, Yangyue Yu, Peter Locher, Bin Xu, "Drought Assessment and Projection under Climate Change: A Case Study in the Middle and Lower Jinsha River Basin", Advances in Meteorology, vol. 2017, Article ID 5757238, 16 pages, 2017. <https://doi.org/10.1155/2017/5757238>.

نحوه ارجاع به مقاله:

راستگو، پژواک؛ رمضانی، بهمن؛ رضایی، پرویز؛ (۱۴۰۱) ارزیابی خشکسالی و سنجش آسیب پذیری اقلیمی استان گیلان، جغرافیا و مطالعات محیطی ۱۱ (۴۲)، ۱۳۶-۱۵۰. Dor: 20.1001.1.20087845.1401.11.42.9.8.

**Copyrights:**

Copyright for this article is retained by the author (s), with publication rights granted to Journal of Geography and Environmental Studies. This is an open – access article distributed under the terms of the Creative Commons Attribution License (<http://creativecommons.org/licenses/by/4.0>), which permits unrestricted use, distribution and reproduction in any medium, provided the original work is properly cited.

